مقاومة الفئران البيض للخمج بداء الاكياس العدرية الثانوي باستخدام احد متماثلات انزيم بولى امين اوكسيديز

وثبة إدريس توحلة قسم الكيمياء / كلية التربية جامعة الموصل

الاستلام القبول 2011 / 11 / 02 2011 / 17 / 2011

ABSTRACT

Polyamine oxidase activity in cerebrospinal fluid of normal children was determined. The specific activity of crude PAO was found 64.16 ± 8.18 enzyme unit/mg protein. Two main peaks of high PAO activities were obtained I and II with specific activity of 1201.9 and 1157.2 enzyme unit/mg protein, and with purification folds of 18.2 and 17.5 respectively.

The resistance to infection with secondary hydatid disease was studied in mice activated by partially purified CSF-PAO with spermine and infected with protoscoleces of *Echinococcus granulosus*.

The results revealed an obvious decrease in numbers, weights and diameters of secondary hydatid cysts grown, and elevation in the percentage of reduction of hydatid cysts, and a decrease in liver and spleen weights and their organ indices, in mice activated by different concentrations of PAO II 200-1000 $\mu g/$ 10 gm body weight with constant concentration 200 μg Spm throughout one month, and with optimum concentration 800 $\mu g/$ 10 gm body weight PAO II with 200 μg Spm throughout two and three months, in comparison with positive and negative control groups.

Therefore, it was concluded that PAO II isolated from CSF with Spm could be considered as an effective resistance against infection with secondary hydatid disease.

الخلاصة

تم تقدير فعالية انزيم بولي امين اوكسديز (PAO) في السائل المخي الشوكي للأطفال الأصحاء. وجد ان الفعالية النوعية للانزيم الخام 64.16 ± 64.16 وحدة انزيمية/ملغم بروتين. تم

الحصول على قمتين I و II تمتلك كل منهما فعالية عالية لانزيم PAO، بلغت فعاليتهما النوعية 1201.9 و 17.5 وحدة انزيمية/ ملغم بروتين، وبعدد مرات تتقية 18.2 و 17.5، على التوالي.

تم دراسة المقاومة ضد الإصابة بالاكياس العدرية الثانوية في الفئران البيض المفعلة بانزيم PAO II المنقى مع السبرمين Spm والمخمجة بالرؤيسات الاولية لدودة المشوكات الحبيبية Echinococcus granulosus.

أظهرت النتائج حدوث انخفاضا واضحا في اعداد واوزان واقطار الاكياس العدرية الثانوية، مع ارتفاع النسب المئوية لاختزال اعداد الاكياس العدرية وانخفاضا في اوزان الكبد والطحال وتضخمهما في الفئران المفعلة على مدى شهر باستخدام تراكيز مختلفة (200–1000 مكغم/ 10 غم من وزن الجسم من انزيم PAO II مع تركيز ثابت (200 مكغم من وزن الجسم من التركيز الامثل (800 مكغم/ 10 غم من وزن الجسم من التركيز الامثل (800 مكغم/ 10 غم من وزن الجسم من Spm) مع (200 مكغم من وزن الجسم من التركيز الامثل (800 مكغم الموجبة والسالبة).

عليه يمكن ان يستنتج من هذه الدراسة ان المتماثل الثاني لانزيمPAO المستخلص من CSF الاطفال مع السبرمين يمكن ان يعمل كمنشط لمقاومة الفئران البيض ضد الاصابة بداء الاكياس العدرية الثانوي.

المقدمة

مركبات متعددة الأمين Polyamines PA مركبات عضوية متعددة الشحنة الموجبة، وهي منتشرة في خلايا الكائن الحي كافة. تلعب هذه المركبات دورا أساسيا في العمليات الحياتية على مدى واسع بضمنها نمو وتمايز الخلايا وتشارك في تنظيم دورة حياة الخلية (1).

تقوم انزيمات بولي أمين اوكسيديز Polyamine Oxidases PAO بتحفيز أكسدة Spd والسبرمدين Spm والسبرمدين مثل السبرمين الأمين من مركبات متعددة الأمين مثل السبرمين PA والسبرمدين PA داخل وخارج ومشتقاتهما بألفة عالية، ولها دورا هاما في تنظيم مستويات مركبات PA داخل وخارج الخلايا(2).

اتضحت أهمية تاثير اتزان مركبات PA في الوظائف الطبيعية للجهاز المناعي (3)، فقد عرفت نواتج اكسدة الـ PA بوساطة انزيم PAO بانها سامة لانواع مختلفة من الخلايا(4). اكد الباحثون Schenkel وجماعته (5) ان Spm هو المادة الأساس الأفضل للانزيم وهو الاكثر سمية. وجد ان طفيليات تريبانوسوما Trypanosomes قتلت بسرعة عند تحضينها مع PAO او مع المصول الحاوية على PAO و PA، واقترح بان نظام PA-PAO له علاقة خاصة بالميكانيكيات القاتلة غير النوعية لطفيليات التريبانوسوما التي تصيب المجترات (6).

داء الاكياس العدرية او داء المشوكات Echinococcosis من الأمراض الطفيلية القديمة والشائعة في جميع أنحاء العالم، بضمنها الوطن العربي والعراق (7). وهو من الأمراض المشتركة بين الإنسان والحيوان (8). اولى الباحثون والمختصون اهتماما كبيرا في معالجة هذا المشتركة بين الإنسان والحيوان (8). اولى الباحثون والمختصون اهتماما كبيرا في معالجة هذا الداء (9)، ونجحت معظم الادوية المستخدمة في علاج هذا المرض علاجا جزئيا، ماحث الباحثين في احداث تعديل مناعي في المضيف بهدف تنشيط مقاومته ضد الاصابة بهذا الطفيل، واستخدموا لهذا الغرض موادا عديدة عزلت من مصادر مختلفة (10–12).

نجحت دراسة سابقة (13) في استخدام احد متماثلات انزيم PAO كمعدل مناعي ضد الخمج بداء الاكياس العدرية الثانوي في الفئران البيض، المصابة تجريبيا، كان الهدف من هذا البحث دراسة المتماثل الثاني لهذا الانزيم لامكانية استخدامه بوصفه معدلا مناعيا ضد نفس المرض.

المواد وطرائق العمل

عينة السائل المخي الشوكي

تم جمع عينات CSF للاطفال الاصحاء من مختبرات مستشفى ابن سينا التعليمي في الموصل بواقع 15 عينة وبمعدل -0.5 مل للعينة الواحدة.

تقدير كمية البروتين في الـ CSF

تم استخدام طريقة الباحث Lowrey المعدلة (14-15) في تقدير كمية البروتين في عينات الـ CSF.

قياس فعالية أنزيم PAO

تم قياس فعالية أنزيم PAO بالاعتماد على طريقة الباحثة (16) والمحورة من قبل الباحث PAO الله PAO لله PAO لله PAO الله PAO والمثبتة من قبل الباحث Al-Katib (18).

التتقية الجزئية لانزيم PAO

تمت التنقية الجزئية لأنزيم PAO من الـ CSF الأطفال باستخدام الفرز الغشائي والاستشراب الايوني المتبادل باستخدام المبادل الايوني السالب DEAE-Cellulose، على التوالى (19).

الحيوانات المختبرية

تم استخدام الفئران البيض في تجارب البحث التي تم الحصول عليها من غرفة تربية الحيوانات التابعة لقسم علوم الحياة / كلية التربية.

الأكياس العدرية

تم الحصول على الأكياس العدرية والتي تم عزلها من اكباد الاغنام المذبوحة من الجزارين في مدينة الموصل. تم جمع الرؤيسات الأولية حسب طريقة الباحث Smyth (20) وتم تقدير حيويتها حسب طريقة الباحثين Smyth & Barett (21)، واستخدمت الرؤيسات الأولية التي بلغت حيويتها (96%) فأكثر وحقنت الفئران في التجويف البريتوني بـ 2000 رؤيس اولي تقريبا والتي تم حسابها حسب طريقة الباحث Wangoo وجماعته (22).

تصميم التجارب

لدراسة تأثير انزيم PAO II على الامراضية التي تنتج عن الخمج بالأكياس العدرية في الفئران، تم تقسيم تجارب حقن الفئران الى ثلاث تجارب:

التجربة الأولى: تم حقن 25 فأرا عبر الخلب بتركيز 200 مكغم/10غم من وزن الجسم بالـ Spm مضافا اليها تراكيز مختلفة (1000,800,600,400,200 مكغم/10غم من وزن الجسم) من أنزيم PAO II المستحصل من القمة الثانية من عملية التبادل ألايوني. تم خمج الفئران بما يقرب من 2000 رؤيس اولي حي/فار بعد يوم واحد من التفعيل، وتم خمج 5 فئران بالعدد نفسه من الرؤيسات الأولية الحية فقط كمجموعة سيطرة موجبة. وتم استخدام 5 فئران كمجموعة سيطرة سالبة، تم تشريح الفئران جميعها بعد شهر من احداث الخمج. تم تحديد التركيز الامثل للانزيم من هذه التجربة لاجراء التجارب اللاحقة.

التجرية الثانية: تم حقن 5 فئران بالتركيز الامثل من أنزيم PAO II مع Spm، وبعد ثلاثة ايام من التفعيل تم خمج الفئران بالعدد نفسه من الرؤيسات الأولية الحية.

التجربة الثالثة: تم حقن 5 فئران. بالتركيز الامثل من أنزيم PAO II مع Spm وبجرعتين متتاليتين بينهما 72 ساعة، تم خمج الفئران بالعدد نفسه من الرؤيسات الأولية الحية بعد 6 أيام من التفعيل الاولى.

في كلا المتجربتين الثانية والمثالثة كان. هناك. مجموعة سيطرة سالبة وموجبة. تم تشريح الفئران جميعها بعد شهرين وثلاثة اشهر من إحداث الخمج.

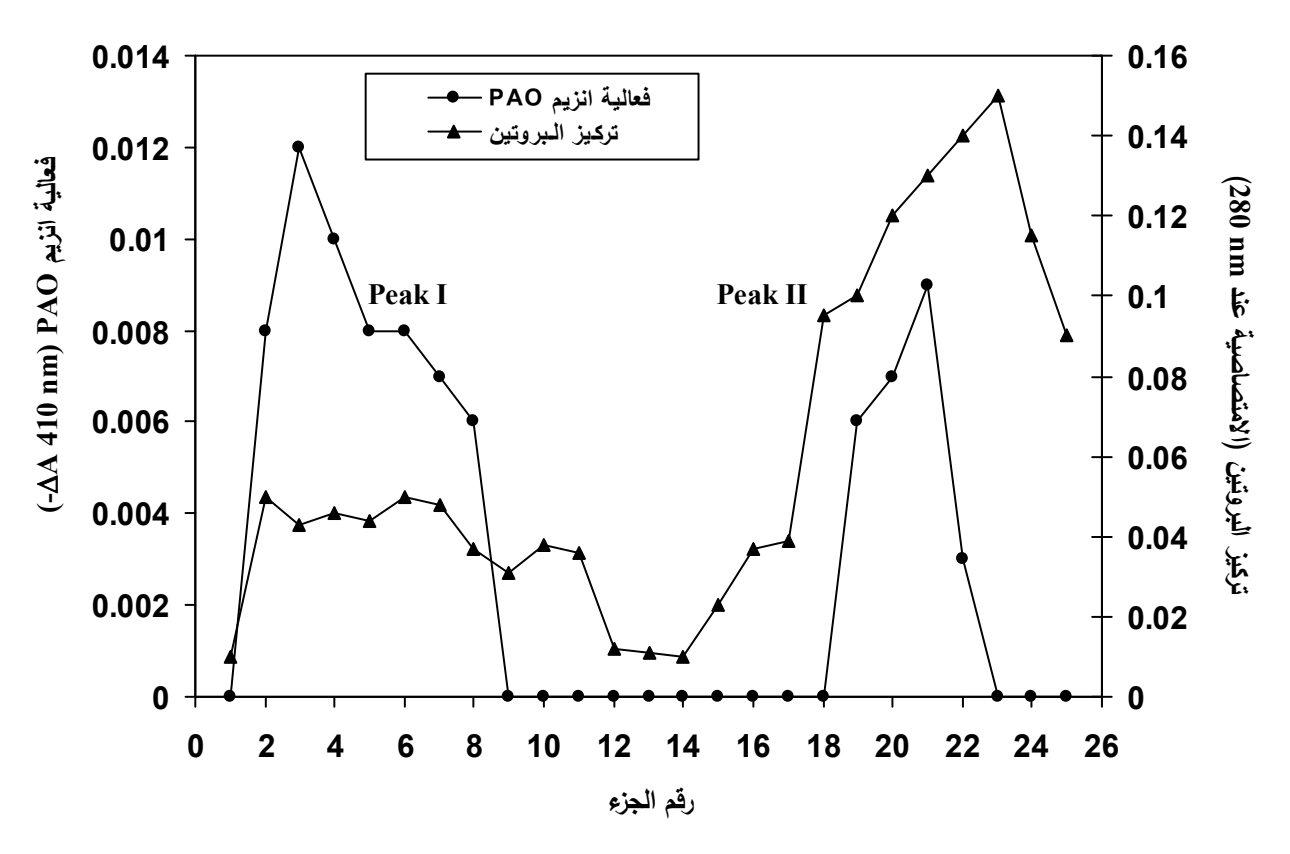
التحليل الإحصائي

تم تحليل النتائج باستخدام اختبار t (23) لتحديد الفروقات بين حيوانات السيطرة الموجبة والسيطرة السالبة من جهة، وبين الحيوانات المعاملة وحيوانات السيطرة الموجبة من جهة اخرى.

النتائج

تحدید مستوی فعالیة انزیم PAO فی CSF

ارتفعت الفعالية النوعية لانزيم PAO حسب خطوات التنقية ما بين الانزيم الخام، والفرز الغشائي والتبادل الايوني (الشكل 1، الجدول 1).



الشكل (1): نموذج الروغان المستحصل من تنقية إنزيم PAO من الـ CSF بوساطة التبادل ألايوني

الجدول (1): خطوات تنقية إنزيم PAO من CSF الأطفال الأصحاء

استرجاع الفعالية %	عدد مرات التنقية	الفعالية النوعية (وحدة انزيمية/ملغم بروتين)	الفعالية الانزيمية الكلية (وحدة انزيمية)*	الفعالية الانزيمية (وحدة انزيمية/مل)	البروتين الكلي (ملغم)	الحجم الكلي (مل)	خطوات تنقية الـCSF
100	_	66.12	374.94	41.66	5.67	9.0	الانزيم الخام
165.26	2.23	147.53	619.65	72.90	4.20	8.5	الفرز الغشائي
							التبادل الايوني
291.71	18.17	1201.92	1093.75	31.25	0.91	35	peak I
222.22	17.50	1157.22	833.20	41.66	0.72	20	peak II

^{*} الوحدة الإنزيمية U تشير إلى كمية الإنزيم التي تؤكسد مايكرومول واحد من المادة الأساس (السبرمين) في الدقيقة الواحدة.

تأثير نظام Spm-PAO في الخمج التجريبي بالرؤيسات الأولية في الفئران البيض

تم دراسة تأثير نظام Spm-PAO في الخمج التجريبي بالرؤيسات الأولية في الفئران البيض، وفيما يلى نتائج هذه الدراسة:

أعداد وأوزان وأقطار الأكياس العدرية باستخدام جرعات PAO مختلفة التركيز

يوضح الجدول (2) حدوث انخفاضا معنويا عال (P < 0.001) في أعداد الأكياس في يوضح الجدول (2) حدوث انخفاضا معنويا عال (P < 0.001 المستخدمة مقارنة مع مجموعة السيطرة الموجبة، بلغ أقصاه عند التركيز P < 0.001 مكغم. اما فيما يتعلق بأوزان الاكياس، لوحظ أيضاً حدوث انخفاض معنوي عال (P < 0.001) في أوزانها في الفئران المفعلة بنظام P < 0.001 المستخدمة مقارنة مع مجموعة السيطرة الموجبة، بلغ اقصاه عند التركيز P < 0.001 المنخفضت اقطار الاكياس انخفاضا معنويا عاليا (P < 0.001 الموجبة، بلغ P < 0.001 مقارنة مع مجموعة السيطرة الموجبة، بلغ المؤيز P < 0.001 المفعلة بنظام P < 0.001 مقارنة مع مجموعة السيطرة الموجبة، بلغ اقصاه عند التركيز P < 0.001 المفعلة بنظام P < 0.001 مقارنة مع مجموعة السيطرة المؤينة لاختزال المفعلة بنظام P < 0.001 وأن أعلى نسبة المئوية لاختزال كانت عند التركيز P < 0.001 المفعلة بنظام P < 0.001 وأن أعلى نسبة اختزال كانت عند التركيز P < 0.001

الجدول (2): التغيرات الحاصلة في الفئران المفعلة باستخدام تراكيز مختلفة من PAO مع تركيز ثابت Spm الجدول ويجرعة وإحدة قبل 24 ساعة من الخمج لمدة شهر وإحد

النسبة المئوية	أقطار الأكياس	أوزان الأكياس	أعداد الأكياس	(مكغم)	التراكيز
للاختزال %	(ملم)	(ملغم)		Spm	PAO
52	0.03±****0.108	0.05±****0.20	0.54±****2.4	200	200
44	0.01±****0.114	0.09±****0.32	0.83±***2.8	200	400
68	0.02±****0.110	0.08±****0.28	0.89±****1.6	200	600
88	0.04±****0.034	0.16±****0.12	0.89±****0.6	200	800
72	0.01±****0.094	0.12±****0.18	0.54±****1.4	200	1000
0	0.11±1.050	0.09±1.12	0.70±5.0	C	<u>'</u> +

[.] فئران السيطرة غير المخمجة وغير المفعلة ، + فئران السيطرة المخمجة غير المفعلة C

أوزان الكبد والطحال ومعدلات تضخمهما باستخدام جرعات PAO مختلفة التركيز

أظهرت مجموعة السيطرة الموجبة زيادة معنوية عالية (P < 0.001) في وزن الكبد مقارنة P < 1 بمجموعة السيطرة السالبة. أما تضخم الكبد، فقد أظهرت السيطرة الموجبة زيادة معنوية (P < 1.00) مقارنة بالسيطرة السالبة. كذلك بالنسبة لوزن الطحال وتضخمه، فقد أظهرت السيطرة 0.05

⁽P < 0.01) ** الفروق معنوية عند (P < 0.05) ** الفروق معنوية عند

⁽P < 0.001) عند الفروق معنوية عند (P < 0.005) *** الفروق معنوية عند

تشير الأرقام في الجدول إلى المعدل (لخمس مكررات) ± الانحراف القياسي.

الموجبة ارتفاعا معنويا عاليا (P < 0.001) و (P < 0.005)، على التوالي، مقارنة بالسيطرة السالبة (الجدول 3).

يوضح الجدول (3) أيضاً حدوث انخفاضا معنويا عال (P < 0.001) في أوزان الكبد في الفئران المفعلة بنظام Spm-PAO مقارنة مع السيطرة الموجبة، بلغ أدناه عند التركيز 400 مكغم. أما تضخم الكبد فقد اظهر انخفاضا معنويا (P < 0.05) وغير معنويا مقارنة بالسيطرة الموجبة، بلغ ادناه عند التركيز 400 مكغم.

Spm-PAO بالنسبة لأوزان الطحال وتضخمه، فقد أظهرت الحيوانات المفعلة بنظام وتضخمها مقارنة ولجميع التراكيز المستخدمة انخفاضا معنويا عاليا (P < 0.001) في أوزانها و تضخمها مقارنة بالسيطرة الموجبة، بلغ أدناه عند التركيز 800 مكغم.

الجدول (3): التغيرات الحاصلة في الفئران المفعلة باستخدام تراكيز مختلفة من PAO مع Spm، ويجرعة واحدة قبل عندة شهر واحد

الطحال			التراكيز (مكغم)		
معدل التضخم	معدل الوزن (غم)	معدل التضخم	معدل الوزن (غم)	Spm	PAO
0.18±****4.06	0.008±****0.068	7.02±59.4	0.10± ****0.98	200	200
0.15±****3.90	0.008±****0.055	8.23±*55.2	0.18± ****0.78	200	400
0.37±****3.48	0.008±****0.052	6.23±63.4	0.16±****0.95	200	600
0.59±****3.46	0.008±****0.050	6.06±*58.2	0.14±****0.84	200	800
0.54±****3.53	0.007±****0.063	5.96±*58.0	0.11±****1.03	200	1000
0.71±***3.11 0.008±****0.062		5.13±*57.6	0.06±****1.11	C-	
0.08±5.38		7.12± 69.2	0.13±1.67	C+	

اختيار التركيز الامثل للـ PAO

تم اختيار التركيز الامثل لانزيم PAO في الدراسة الحالية، حيث وجد ان امثل تركيز لله PAO II الذي كانت فيه اقل عدد ووزن وقطر للاكياس العدرية واعلى نسبة اختزال للاعداد هو 800 مكغم مع 200 مكغم من Spm، وعليه فقد استخدم كمعدل مناعي في الفئران المخمجة في التجارب اللاحقة.

أعداد وأوزان وأقطار الأكياس العدرية باستخدام التركيز الأمثل للانزيم PAO

يلاحظ من الجدول (4) حدوثا انخفاضا معنويا عال (9.005) في عدد الأكياس العدرية في الفئران المفعلة، مقارنة بالسيطرة الموجبة. كذلك حدث انخفاض معنوي عال P < في وزن الأكياس في الفئران المفعلة مقارنة بالسيطرة الموجبة. تبعا لذلك انخفض قطر (0.001)

الاكياس انخفاضاً معنوياً عاليا (P < 0.005) في الفئران المفعلة مقارنةً بالسيطرة الموجبة. كما حدث ارتفاع في النسبة المئوية لاختزال أعداد الأكياس العدرية في الفئران المفعلة.

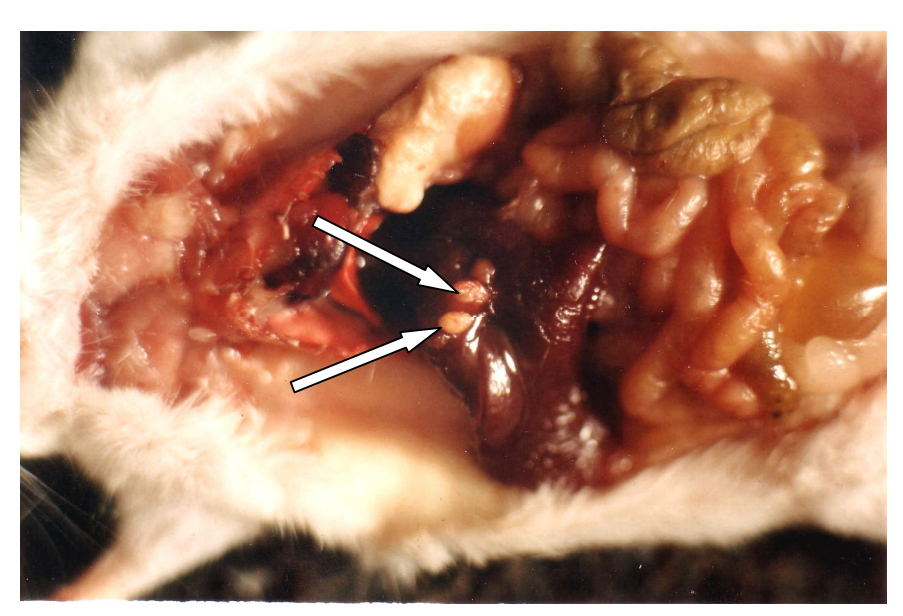
يوضح الجدول (5) حدوث انخفاضا معنويا عال (P < 0.001) في عدد الاكياس في الفئران المفعلة (صورة 1) مقارنة بالسيطرة الموجبة (صورة 2)، وانخفض وزن الاكياس وقطرها انخفاضاً معنوياً عاليا (P < 0.001) في الفئران المفعلة مقارنة بالسيطرة الموجبة، وسجلت النسبة المئوية لاختزال اعداد الاكياس ارتفاعاً ملحوظاً في الفئران المفعلة.

الجدول (4): التغيرات الحاصلة في الفئران المفعلة بالتركيز الامثل ويجرعة واحدة قبل 72 ساعة من الخمج لمدة شهرين

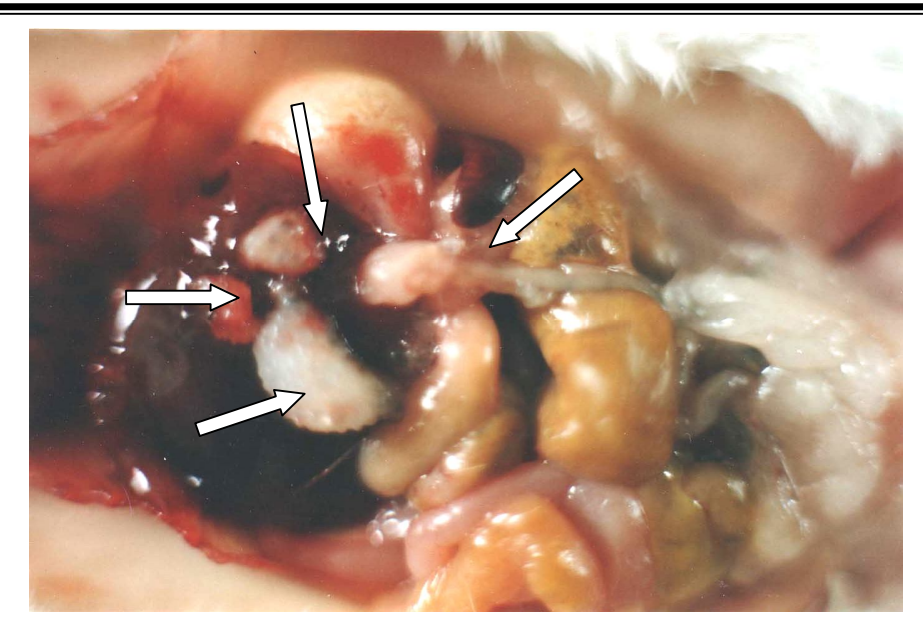
النسبة المئوية	أقطار الأكياس	أوزان الأكياس (ملغم)	أعداد الأكياس	(مكغم)	التركيز (ما	
للاختزال %	(ملم)			Spm	PAO	
75.0	0.34±***0.51	0.20±****0.32	0.83±***1.2	200	800	
0.0	0.58±1.86	0.17±2.08	1.78±4.8	(+	

الجدول(5): التغيرات الحاصلة في الفئران المفعلة بالتركيز الامثل وبجرعتين (كل 72 ساعة) قبل ستة ايام من الخمج لمدة ثلاث أشهر

النسبة المئوية	اقطار الاكياس	اوزان الاكياس	اعداد الاكياس	التركيز (مكغم)	
للاختزال %	(ملم)	(ملغم)		Spm	PAO
83.4	0.13±****0.62	0.31±****1.40	1.0±****2.0	200	800
0	0.27±2.22	1.57±13.5	1.58±12	C	+



صورة (1): الاكياس العدرية الثانوية في كبد فأر مفعل بالتركيز الأمثل 800 مايكروغرام من انزيم PAO مع Spm بعد ثلاثة اشهر من الخمج



صورة (2): تجمع الاكياس العدرية الثانوية في كبد فأر السيطرة المخمجة غير المفعلة بعد ثلاثة اشهر من الخمج

أوزان الكبد والطحال وتضخمهما باستخدام التركيز الامثل للـ PAO

حدث ارتفاع معنوي (P < 0.05) في وزن الكبد و تضخمه في مجموعة السيطرة الموجبة مقارنة بالسيطرة السالبة (الجدول 6). ويوضح الجدول نفسه حدوث انخفاض معنوي (P < 0.05) في وزن الكبد في الفئران المفعلة مقارنة بالسيطرة الموجبة، واظهرت المجموعة الموجبة ارتفاعا معنويا (P < 0.005) في تضخم الطحال مقارنة بالسيطرة السالبة، وتضخما معنويا (P < 0.005) في المجموعة المفعلة مقارنة بالسيطرة الموجبة.

يوضح الجدول (7) حدوث انخفاضا معنويا عاليا (P < 0.001) في وزن الكبد في الفئران المفعلة مقارنة بالسيطرة الموجبة. وارتفع الوزن في السيطرة الموجبة ارتفاعا معنويا عاليا (P < 0.001) مقارنة بالسيطرة السالبة. وفقا لذلك حدث انخفاض معنوي (P < 0.05) في تضخم الكبد في الفئران المفعلة مقارنة بالسيطرة الموجبة. وارتفع ايضا في السيطرة الموجبة ارتفاعا معنويا (P < 0.05) مقارنة بالسيطرة السالبة. بالنسبة لأوزان الطحال، فلم يحدث اي اختلاف في الفئران المفعلة مقارنة بالسيطرة الموجبة، في حين ارتفع تضخم الطحال في السيطرة الموجبة الموجبة الموجبة الموجبة الموجبة المعنويا (P < 0.05) مقارنة بالسيطرة السالبة.

الجدول (6): التغيرات الحاصلة في الفئران المفعلة بالتركيز الامثل، وبجرعة واحدة قبل 72 ساعة من الخمج لمدة شهرين

الطحال		الكبد		التركيز (مكغم)	
معدل التضخم	معدل الوزن(غم)	معدل التضخم	معدل الوزن(غم)	Spm	PAO
0.42±**4.00	0.01±0.080	6.32±63.80	0.08±*1.27	200	800
0.37±***3.81	0.01±0.080	0.74±*60.96	0.08±*1.28	(2-
0.48±4.87	0.03±0.101	7.97± 70.44	0.11±1.44	C.	+

الجدول (7): التغيرات الحاصلة في الفئران المفعلة بالتركيز الامثل، ويجرعتين (كل 72ساعة) قبل ستة ايام من الخمج لمدة ثلاثة اشهر

الطحال		الكبد		التركيز (مكغم)	
معدل التضخم	معدل الوزن (غم)	معدل التضخم	معدل الوزن (غم)	Spm	PAO
0.35± 4.57	0.02± 0.103	4.08± *60.8	0.07 ±****1.37	200	800
0.34±*3.93	0.01± 0.085	8.49±*60.10	0.08±***1.30	C	· –
0.43± 4.52	0.02± 0.101	8.68±72.90	0.08± 1.61	C	+

المناقشة

لوحظ في الدراسة الحالية ظهور قمتين متميزتين لإنزيم PAO بعد تنقيته من الـ PAG للأطفال الأصحاء وهو نفس ما لاحظته الباحثة Al-Katib (18) باستخدام التبادل ألايوني للأطفال الأصحاء وهو نفس ما لاحظته الباحثة عالية نسبيا، لإنزيم PAO، وتؤكد هذه الدراسة وجود هذا الأنزيم بشكل متماثلات، هذا مابينه الباحثون Cervelli وجماعته (24) حيث تم تشخيص متماثلات لإنزيم PAO مميزة في الهيئات التركيبية والمواقع الخلوية، كما تم تشخيص الجينات الوراثية لهذه المتماثلات (25). ان الوظائف المهمة المعينة التي تلعبها مركبات الـ PA في النسيج المعين يعتمد لحد ما على نمط الايض لهذه المركبات (26)، حيث ان إنزيم PAO يعمل على التنظيم الدقيق لتركيز الـ PA وفي الوقت نفسه يعمل على التحكم بتركيز ونوع نواتج الأكسدة لهذه المركبات اعتمادا على الآلية الخاصة بـه، الأمر الذي يفسر أهمية تواجد PAO بمتماثلات مختلفة (27).

ان عملية تكوين الأكياس العدرية الثانوية تعتمد على حيوية الرؤيسات الأولية وقوة الجهاز المناعي للمضيف، وان الاختزال الواضح في أعداد الأكياس العدرية الثانوية مع انخفاض أوزانها وأقطارها في الفئران المفعلة يشير الى عدم قدرة او ضعف قابلية الرؤيسات الأولية على التغلب على الجهاز المناعي في الفئران المفعلة بنظام PAO مقارنة مع فئران السيطرة المخمجة غير المفعلة. وقد تعود قلة نمو الأكياس العدرية في الفئران المفعلة بنظام PAO- Spm-PAO، الى غير المفعلة . وقد تعود قلة نمو الأكياس العدرية في الفئران المفعلة بنظام (28)، والذي يزيد من زيادة تتشيط البلاعم (بوصفها خطا دفاعيا مهما) بوساطة هذا النظام(28)، والذي يزيد من قدرتها على مهاجمة الطفيل والقضاء عليه من خلال الالتصاق بالرؤيسات الأولية وتحطيمها بطريقة مشابهة لتحطيم الخلايا السرطانية بفعل الانزيمات المحللة (29). ويمكن تفسير هذه النتائج الى التأثير السمي لنواتج PAO، التي قد تكون PAO، التي قد تعم في قتل الطفيليات (30-33)، او قد راعتمادا على طبيعة الآلية التحفيزية له) والتي قد تسهم في قتل الطفيليات (30-33)، او قد يكون التأثير السمي هذا عائدا لجذور الهيدروكسيل الفعالة، وهو العامل الاكثر تحطيما لخلايا طفيلي الملاريا داخل الجسم الحي (5-33)، ان نتائج دراستنا باستخدام نظام PAO- Spm-PAO

كمعدل مناعي ضد الاصابة الثانوية بداء الاكياس العدرية في الفئران البيض جاءت موافقة لبحوث سابقة (11-13) التي استخدمت معدلات مناعية مختلفة ضد هذا الداء.

قد يعزى الانخفاض الحاصل في أوزان الكبد والطحال في مجاميع الفئران المفعلة بنظام Spm-PAO مقارنة بمجاميع السيطرة الموجبة الى اختزال الخمج في هذه الأعضاء نتيجة قلة أعداد الطفيليات مع قلة الورم الحبيبي فيها وهذا مماثل لما وجد في البحوث السابقة (11-13).

اظهرت مجموعة السيطرة الموجبة زيادة في اوزان كل من الكبد والطحال مقارنة بالسيطرة السالبة، ويمكن ان يعزى هذا الى كثرة وجود الاورام الحبيبية والبؤر النخرية التي تغير من طبيعة هذه الانسجة، فضلا عن كثرة أعداد الطفيليات في هذه الاعضاء مما يؤدي الى فشل المضيف في مقاومة الطفيل والسيطرة عليه (36). جاءت النتائج متفقة مع ما وجده -Du and Ali في مقاومة الطفيل والسيطرة عليه (36). جاءت النتائج متفقة مع ما وجده الحجرات في مقاومة الطفيل والسيطرة الحي تضخم الطحال عند خمج الفئران بالمشوكات متعددة الحجرات المواولة في السروا (38) اشاروا (38) اشاروا الى المحقونة والمحلول هو الزيادة السريعة في فعالية PAO في طحال الفئران المحقونة وريديا ببكتيريا parvum parvum الموزان بين وريديا ببكتيريا parvum الموجبة، بعد شهرين وثلاثة اشهر من الخمج فيمكن ان يعود السبب المحموعة المفعلة والسيطرة الموجبة، بعد شهرين وثلاثة الشهر من الخمج فيمكن ان يعود السبب حصول حالة انزان مناعي. وهذا مماثل لما وجدته الباحثتان (10،13) عند استخدامهما معدلات مناعية مختلفة.

يتضح من دراستنا الحالية ان المتماثل الثاني لانزيم PAO المستخلص من CSF مع الـ Spm يمكن ان ينشط المقاومة في الفئران البيض ضد الإصابة بداء الأكياس العدرية الثانوي، وبحصولنا على الانزيم من مصادر حياتية اخرى اكثر سهولة واكثر اقتصادية يمكن ان تدرس إمكانية استخدامه كمساعد للأدوية المستخدمة في علاج داء الأكياس العدرية.

REFERENCES

- 1) Wallace H.M., Fraser A.V. and Hughes A., Biochem. J., 2003, 376, 1-14.
- 2) Binda C., Coda A., Angelini R., Federico R., Ascenzi P. and Mattevi A., Acta. Crystallogr. D. Biol. Crystallogr, 1998, 54(2), 1429-1431.
- 3) Seiler N., Bardocz S. and White A.(eds.)., Klumer, Dordrecht, 1999, 65-76.
- 4) Bachrach U., Ann. Acad. Sci., NY., 1970, 939-969.
- 5) Schenkel E., Dubois J.G., Helson–Cambier M. and Hanocq M., Cell Biol. Toxicol., 1996, 12(1):1-9.
- 6) Tabor C.W. and Rosenthal S.M, J. Pharmacol. Exp. Ther, 1956, 116:139-155.
- 7) Jumaa H.I., Al-Kennany E.R. and Al-Hayali F.Q., Iraqi J. Vet. Sci., 2001, 14(1):39-56.
- 8) Eckert J. and Deplazes P., Clin. Microbiol. Rev., 2004, 17(1):107-135.
- 9) Blanton R.E., Options in Infect. Dis., 2001, 3:327-332.
- **10)** Al-Taei A.F.M., Ph.D. Thesis, College of Science, Al-Mustansiriya University, 1996. (In Arabic).
- 11) Ali A.A. and Yasseen S.S., Coll. Veter. Sci., Univ. Mosul, Mosul, 2006, pp. 211-228.
- **12)** Ali A.A. and Abdulla I.T., Riv. Parassitol., XXI (LXV), 2004, 1:3–10.
- **13)** Tohala W.I.A., Ph.D. Thesis, College of Education, University of Mosul (2006). (In Arabic)
- **14)** Lowrey O.H., Rosebrough N.J., Farr A.L. and Randall R.J., J. Biol. Chem., 1951, 193: 265-275.
- **15)** Scharcterle G.R. and Pollack R.L., Anal. Biochem., 1973, 51:654-655.
- **16)** Flayeh K.A., Clin. Chem., 1988, 34: 401-403.
- 17) Dahel K.A.D., M.Sc. Thesis, University of Mosul (1995). (In Arabic).
- **18)** AL-Katib S.M.Y., Ph.D. Thesis, Coll. Edu. Univ. Mosul (2000) (Arabic).
- **19)** Clark J.M. and Switzer R.L., 2nd ed., W.H. Freeman and Company San Francisco, 1976.

- **20)** Smyth J.D., Proc. 13th ed., Int. Cong. Hydit, Madrid, 1985, pp.84-95.
- **21)** Smyth J.D. and Barett N.G., Trans. Roy. Soc. Trop. Med. Hyg, 1980, 74:649-652.
- **22)** Wangoo A., Ganguly N.K. and Mahajan R.C., Indian. J. Med. Res., 1989, 89:40-42.
- **23)** Bruning J.L. and Kintz B.L., 2nd ed., Scott Foresman Company, Gleriew, 1977.
- **24)** Cervelli M., Cona A., Angelini R., Pdticelli F., Federico R. and Mariottini P., Eur. J. Biochem., 2001, 268(13):3816-3830.
- **25)** Murray-Stewart T., Wang Y., Devereux W. and Casero Jr. R.A., Biochem. J., 2002, 368:673-677.
- **26)** Sessa A. and Perin A., Clin. Exp. Res., 1997, 21(2):318-325.
- 27) Mondovi B., Mondovi B. ed., CRC Press, 1985, Boca Raton. FL.
- **28)** Morgan D.M.L., In Polyamines in Biomedical Research, (Gaugas J.M., ed.), 1980, 285-302. Wiley, Chichester and New York.
- **29)** Baron R.W. and Tanner C.E., Int. J. Parasitol., 1977, 6:195-196.
- **30)** Sufrin J.R., Meshnick S.R., Spiess A.J., Garofalo-Hannan J., Pan X.Q. and Bacchi C.J. AAC., 1995, 39(11):2511-2515.
- **31)** Muller S., Coombs G.H., and Walter R.D., TRENDS in Parasitology, 2001, 17(5)242.
- 32) Reis I.A., Martinez M.P., Yarlett N., Johnson P.J., Silva-Filho F.C. and Vannier-Santos M.A., AAC., 1999, 43(8):1919-1923.
- **33)** Chaturvedi R., Cheng Y., Asim M., Bussiere F.I., Xu H., Gobert A.P., Hacker A., Casero Jr. R.A., Wilson K.T., J. Biol. Chem., 2004, 279(38):40161-40173.
- **34)** Clark I.A., Cowden W.B. and Butcher G.A., Lancet, 1983, 1983, 1:234.
- **35)** Clark I.A. and Hunt N.H., Infect. Immun., 1983, 39:1-6.
- **36)** Gottstein B. and Hemphill A., Chem. Immunol., 1997, 66:177-208.
- **37)** Du T. and Ali-Khan Z., J. Exp. Pathol., 1990, 71:313-335.
- **38)** Morgan D.M.L., Ferluga J. and Allison A.C., In: Polyamines in Biomedical Research, (Gaugas, J.M., ed.), 1980, 303-308, Wiley, Chichester and New York.
- **39)** De Rycke P.H., Janssen D., Osuna A. and Lazuren G., Parasitologia, 1991, 33:55-60.